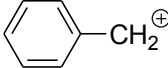
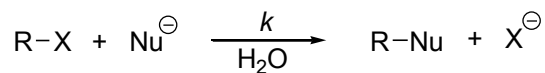


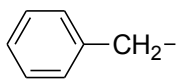
Stabilita kationtů – afinita k hydridovému aniontu



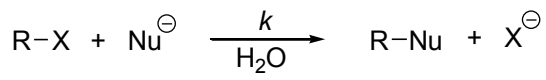
	ΔH (kJ/mol)		ΔH (kJ/mol)
CH_3^{\oplus}	-312	$H_2N-CH_2^{\oplus}$	-218
$CH_3CH_2^{\oplus}$	-273	$HO-CH_2^{\oplus}$	-243
$CH_3CH_2CH_2^{\oplus}$	-266	$H_2C=CH-CH_2^{\oplus}$	-256
$\begin{array}{c} \oplus \\ \\ H_3C-C-CH_3 \\ \\ H \end{array}$	-246	$H_2C=CH^{\oplus}$	-287
$\begin{array}{c} \oplus \\ \\ H_3C-C-CH_3 \\ \\ CH_3 \end{array}$	-231		-234

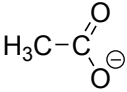
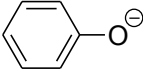
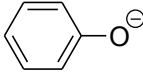
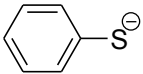
Efekt sterické zábrany na rychlost S_N2



	k/k_0
H_3C-	1
CH_3CH_2-	0,33
$CH_3CH_2CH_2-$	0,013
$\begin{array}{c} H_3C \\ \\ CH- \\ \\ H_3C \end{array}$	0,0008
$\begin{array}{c} H_3C \\ \\ CHCH_2CH_2- \\ \\ H_3C \end{array}$	0,00000013
$H_2C=CH-CH_2-$	1,3
	4,0

Nukleofilita vs bazicita



	p <i>K</i> _a	k/k ₀		p <i>K</i> _a	k/k ₀
ClO ₄ [⊖]	-10	0,0	I [⊖]	-10	120.000
H ₂ O	-1,7	1	Br [⊖]	-9	5.000
	+4,8	900	Cl [⊖]	-7	1.100
	+10	2.000	F [⊖]	+3	0,0
HO [⊖]	+15,7	12.000			
	+10	2.000			
	+6,4	50.000.000			